

# ПЕРЕМЕННЫЕ ЗВЕЗДЫ

---

Том 17

№ 3 (129)

1970

## О РАЗЛИЧИЯХ МЕЖДУ ПЕРЕМЕННЫМИ ТИПА Т ТЕЛЬЦА И БЫСТРЫМИ НЕПРАВИЛЬНЫМИ

Г. В. Зайцева

Рассмотрено положение переменных типов I<sub>s</sub> (быстрых неправильных) и T Тав на двухцветной диаграмме (B - V) - (U - B) и диаграмме Герцшпрунга - Рессела. Используются наблюдения, приведенные в [1], и наблюдения еще пяти переменных (таблица 1 настоящей работы). Наблюдаемые цвета исправлены за межзвездное поглощение. Найдено, что I<sub>s</sub> - переменные BN Ori и UX Ori имеют аномально красные цвета. Цвета I<sub>s</sub> - переменных AB Aur, SU Aur, VX Cas и WW Vul соответствуют их спектральному классу. Светимости переменных типа I<sub>s</sub> выше, чем переменных типа T Тав. У некоторых из изученных переменных (AB Aur, UX Ori и RY Tau) увеличивается показатель цвета при увеличении блеска, у других - уменьшается (SU Aur, VX Cas, DF и DG Tau и WW Vul).

### On the Differences Between I<sub>s</sub> and T Tauri - Type Variables

G. V. Zaitseva

The position of the I<sub>s</sub> and T Tauri-type variables on the two-colour diagram (U-B), (B-V) and the H-R diagram is discussed. The observations given in [1] and the new observations of 5 variables (Table 1 of the present paper) are used. The observed colours are corrected for the interstellar absorption. It was found that the I<sub>s</sub>-variables BN Ori and UX Ori are of abnormally red colours. The colours of the I<sub>s</sub>-variables AB Aur, SU Aur, VX Cas and WW Vul correspond to their spectral class. The luminosities of the I<sub>s</sub>-variables are larger, than those of the T Tauri-variables. The colour indices of some of the studied variables (AB Aur, UX Ori, RY Tau) grow at increasing brightness; the others (SU Aur, VX Cas, DF and DG Tau, WW Vul), on the contrary, decrease their colour indices.

Настоящая работа является продолжением работы [1]. Первоначальной задачей было сравнение неправильных переменных звезд типа I<sub>s</sub> и I<sub>ns</sub> с типичными звездами типа Т Тав (классификация согласно Холопову [2]). Спектры переменных типа I<sub>s</sub> не обнаруживают почти никаких особенностей, лишь в некоторых случаях H<sub>d</sub> находится в эмиссии. Этим они существенно отличаются от типичных звезд типа Т Тав, имеющих богатый эмиссионный спектр, и более позд-

ние спектральные классы. Для наблюдений были выбраны следующие переменные типа I<sub>S</sub> и I<sub>ns</sub>: AB Aur, SU Aur, V X Cas, UX Ori, BN Ori и WW Vul-и типа T Tau: T Tau, R U Tau, DF и DG Tau.

Наблюдения проводились в течение 1965-67 гг. на 48-см рефлекторе Южной станции ГАИШ и на таком же инструменте высокогорной экспедиции ГАИШ близ Алма-Аты с автоматическим электрофотометром [3] в системе, близкой к системе  $UBV$  Джонсона.

Методика наблюдений и редукционные формулы системы описаны в [1]. Величины  $V$  и цвета ( $B-V$ ) и ( $U-B$ ) наблюдавшихся звезд приведены в таблице 1 и на соответствующих рисунках 1 - 4.

### 1. Учет поглощения.

Для определения истинных показателей цвета наблюдавшихся звезд и их абсолютных величин было необходимо определить межзвездное поглощение света в направлении этих звезд. Учет поглощения проводился тремя различными способами: а) по близким скоплениям, б) по близким звездам и в) статистическим методом Паренаго [4] с использованием данных Шарова [5].

В первом случае выбирались галактические скопления на расстоянии нескольких градусов от звезды и отстоящие от нас не далее одного килопарсека. Данные об избытках цвета  $E_{B-V}$  этих скоплений взяты из работы А. Хог [6]. Во втором случае по каталогу Крауфорда [7] для каждой из исследуемых переменных звезд (или для группы звезд, если они близки) в окрестности нескольких градусов выбирались звезды с известным полным поглощением  $A_V$ . Спектр и класс светимости выбранных звезд заимствовались из каталога звездных спектров Яшека [8]. Соответствующие абсолютные величины взяты согласно Блаау [9]. По этим данным определялись модули расстояний и строилась зависимость  $A_V$  от ( $m_V - M_V$ ). В большинстве случаев обнаруживалось удовлетворительное согласие (для небольших расстояний) величин поглощения, определенных этими способами.

### 2. Анализ наблюдательного материала.

AB Aur. По данным Хербига [10] звезда находится в туманности, общей со звездой SU Aur. Согласно нашим наблюдениям [1], характер изменения блеска спокойный: звезда находится в максимуме блеска с небольшими колебаниями, не превышающими 0".10. Алголеподобных минимумов, наблюдавшихся у звезды Хоффмайстером [11], не удалось зарегистрировать. При увеличении блеска показатель

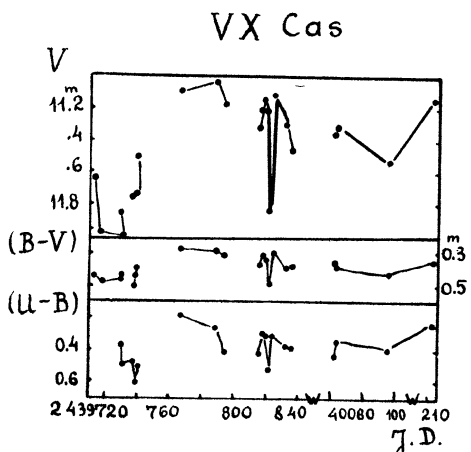


Рис. 1

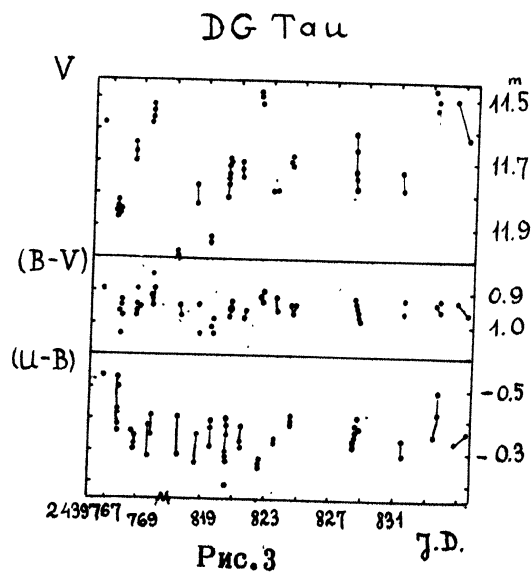


Рис. 3

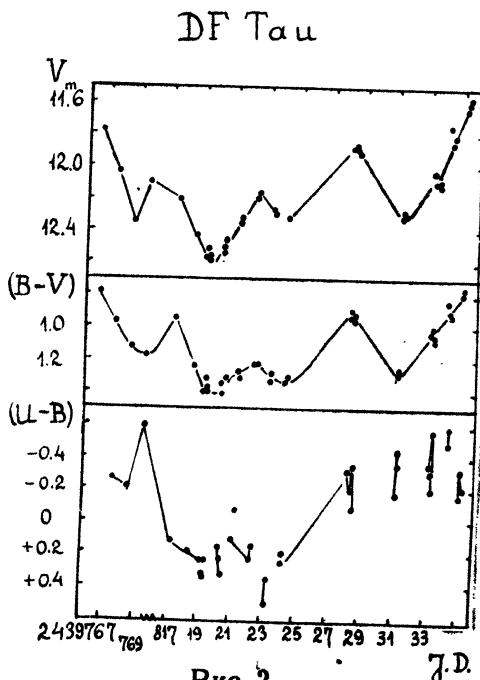


Рис. 2

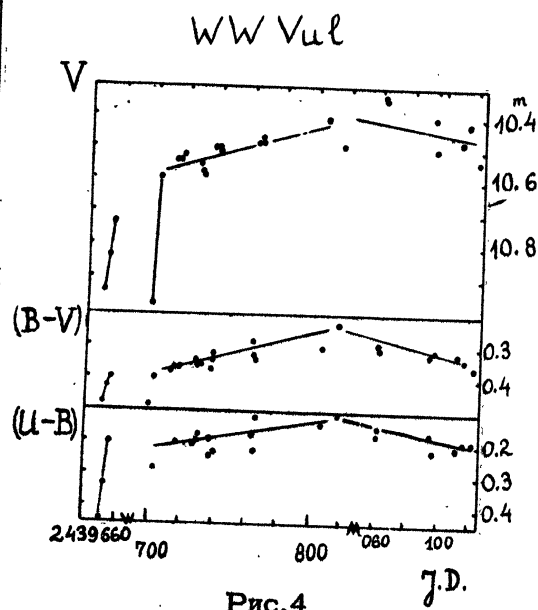


Рис. 4

цвета ( $B - V$ ) увеличивается.

Если принять расстояние до ассоциации  $Aur$  T1 равным 170 парсек, согласно Холопову [12], то определенное методом Паренаго с использованием данных Шарова полное поглощение  $A_V$  равно  $0^m.40$ , что соответствует избытку цвета  $E_{B-V} = 0^m.13$ . Тогда на двухцветной диаграмме (рис.5) AB Aur занимает положение, соответствующее ее спектральному классу B9  $\overline{V}$ . В этих предположениях абсолютная величина AB Aur получается равной  $M_V = +1^m.0$ . Это значение согласуется со значением, полученным Барташ [13] по спектральным критериям Копылова. С принятыми значениями поглощения и светимости также согласуются значения, полученные в 1968 г. Расине [14]:  $E_{B-V} = 0^m.14$ ,  $M_V = +1^m.3 \div +1^m.4$ . На диаграмме Герцшпрunga - Рессела (далее Г-Р; рис.6) AB Aur лежит в пределах T-полосы, чуть выше главной последовательности. Границы T-полосы определены согласно Холопову [15].

SU Aur. Звезда обнаруживает небольшие колебания блеска с максимальными амплитудами:  $\Delta V = 0^m.17$ ,  $\Delta B = 0^m.25$ ,  $\Delta U = 0^m.34$ . Общая тенденция в наблюдаемый период - увеличение блеска, при этом показатель цвета уменьшается, звезда голубеет.

Поглощение  $A_V$ , как и для AB Aur, принимается равным  $0^m.40$  ( $E_{B-V} = 0^m.13$ ). На двухцветной диаграмме точки, соответствующие цветам SU Aur, с учетом поглощения сместятся в область, соответствующую спектральному классу G, располагаясь недалеко от линии III класса светимости, что, в общем, не противоречит классификации спектра как G 2III (классификация Хербига [10]). Абсолютная величина  $M_V = +2^m.6 \div +2^m.7$ , и на диаграмме Г-Р

SU Aur представляется группой точек, лежащих выше главной последовательности - на верхней границе T-полосы недалеко от линии красных гигантов. Фотоэлектрические наблюдения Мендозы [16] хорошо согласуются с нашими ( $V = 9^m.09$ ,  $B - V = +0^m.89$ ,  $U - B = +0^m.41$ ).

VX Cas. Изменения блеска носят характер быстрых колебаний в интервале  $V$  от  $11^m.0$  до  $12^m.0$  на  $0^m.4 \div 0^m.5$  звездной величины за  $1 \div 2$  дня. Имеют место острые минимумы. При увеличении блеска показатель цвета ( $B - V$ ) уменьшается. Максимальные амплитуды составляют  $1^m.0$  в  $V$ ,  $1^m.1$  в  $B$  и  $1^m.3$  в  $U$ . Многие наблюдатели (см., например, [17]) указывают на сходство звезды с BN Ori.

Звезда находится в богатой звездами области Млечного Пути. Избыток цвета  $E_{B-V}$ , определенный по близким скоплениям, составляет  $0^m.24$ , а по методу Паренаго -  $0^m.33$ , что в среднем дает  $0^m.28$ . После учета поглощения VX Cas точно попадает в место двухцветной диаграммы, соответствующее ее спектральному классу A0 [18]. Абсолютная величи-

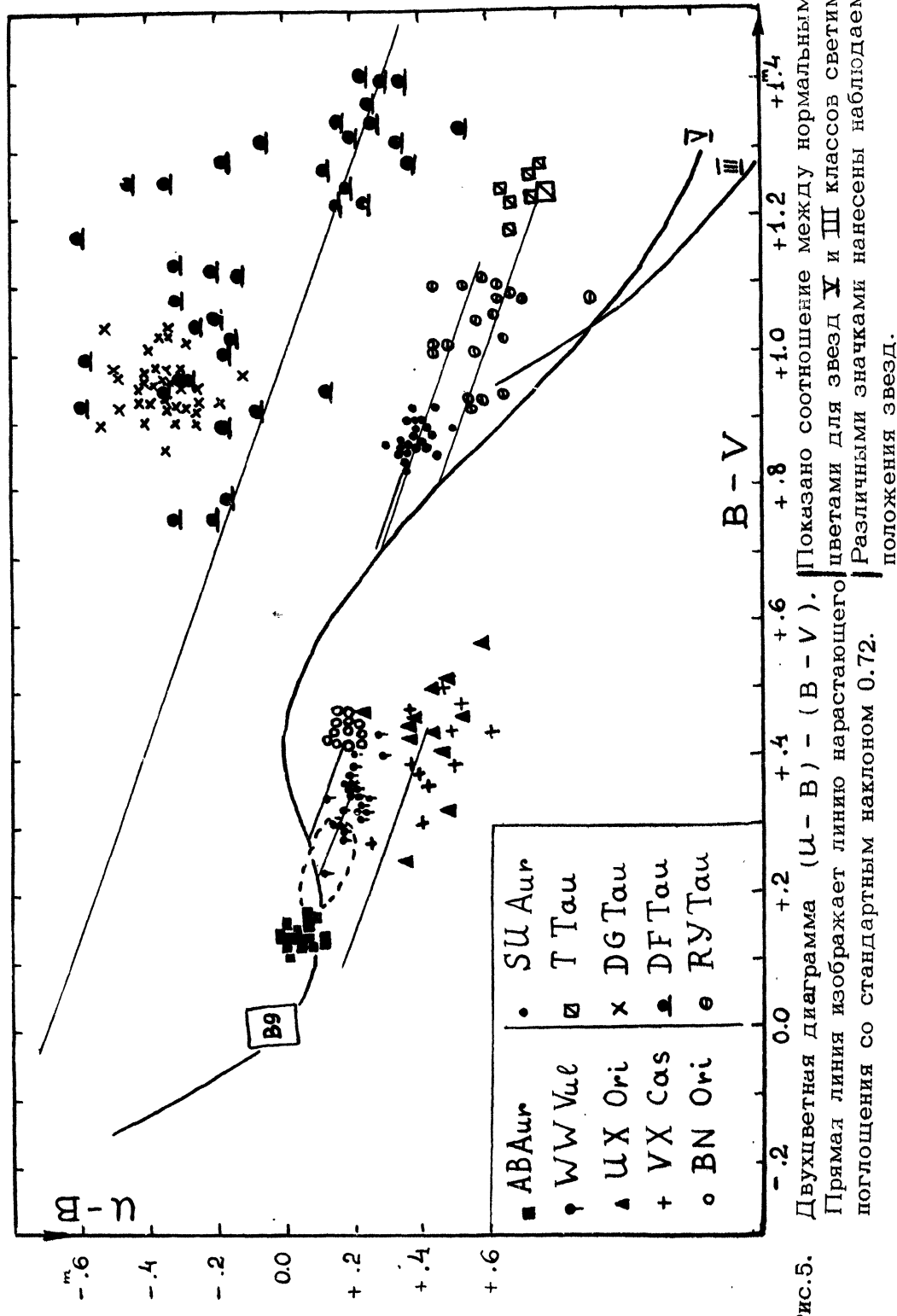


Рис. 5.

на ее получается равной  $+1^m.0 \div +1^m.5$ , и на диаграмме Г-Р она занимает положение в пределах Т-полосы чуть выше главной последовательности.

Upsilon Ori. По нашим наблюдениям [1] меняется довольно активно с максимальными амплитудами:  $\Delta V = 2^m.00$ ,  $\Delta B = 1.75$ ,  $\Delta U = 1.^m.63$  - т.е. при переходе в ультрафиолетовую область амплитуда изменения блеска уменьшается. Расстояние до комплекса туманности Ориона принимается равным 400 пс, поглощение  $A_v$  равным  $0.^m.30$  (по методу Паренаго). Избыток цвета, определенный по близким скоплениям, составляет  $0.^m.08$ , т.е. согласие двух методов довольно хорошее. С этим значением поглощения исправленные цвета Upsilon Ori оказываются аномально красными для ее спектрального класса A2  $\div$  A3.

Абсолютная величина Upsilon Ori получается равной  $+2^m \div +4^m$ , и на диаграмме Г-Р звезда располагается в пределах Т-полосы чуть выше главной последовательности.

Beta Ori. По наблюдениям Хоффмейстера [11], Мартынова [17] звезда меняется быстро и неправильно. (иногда на  $2^m$  за два дня).

За сравнительно небольшой интервал наших наблюдений в течение 1966 года изменений блеска не обнаружено [1].

В отношении поглощения для этой звезды наблюдается картина, сходная с Upsilon Ori. Поглощение, определенное по скоплениям и по методу Паренаго ( $E_{B-V} = 0.^m.08$ ), меньшее того, которое требуется, чтобы Beta Ori попала в точку двухцветной диаграммы, соответствующую ее спектральному типу A5 [18]. По-видимому, также можно сделать вывод либо об аномально красном цвете, либо о большем поглощении.

Необходимо отметить, что и Upsilon Ori, и Beta Ori являются изолированными объектами [12].

Абсолютная величина Beta Ori около  $+1^m$ , и на диаграмме Г-Р она лежит на верхней границе Т-полосы.

Beta Ser. Звезда считалась неправильной переменной типа RW Aur и поэтому была включена в программу наблюдений. В 1966 г. Майнунгер [19] и Венцель [20] обнаружили периодический характер изменения блеска этой звезды. Наши наблюдения подтверждают вывод о принадлежности звезды к типу  $\delta$  Сер [21].

T Tau. Наблюданное положение этой звезды на двухцветной диаграмме указано в соответствии с нашими наблюдениями [22] и наблюдениями Мендозы [23]. Избыток цвета  $E_{B-V}$  для звезд в созвездии Тельца принимается равным  $0.^m.30$ , согласно Смаку [24].

Звезда T Tau принадлежит к ассоциации Tau T2 [12]. Абсолютная звездная величина T Tau равна  $+3^m$ , и на диа-

граммме Г - Р звезда помещается вблизи верхней границы Т-полосы.

RY Tau. По наблюдениям, опубликованным в [1], блеск звезды испытывает неправильные колебания с амплитудами:  $\Delta V = 0^m 89$ ,  $\Delta B = 0^m 75$  - т.е. при увеличении блеска показатель цвета  $B - V$  увеличивается, звезда становится более красной. Наблюдаемые точки нанесены на двухцветную диаграмму.

На диаграмме Г - Р звезда лежит в пределах Т-полосы выше главной последовательности ( $M_V = +3^m \div +4^m$ ).

DF и DG Tau. У звезды DF Tau наблюдаются быстрые изменения в течение ночи вспышечного характера. Максимальные амплитуды:  $\Delta V$  порядка  $1^m 0$ ,  $\Delta B = 1^m 6$ ,  $\Delta U = 2^m 2$  - т.е. амплитуда изменения блеска сильно возрастает при переходе в ультрафиолетовую область спектра.

DG Tau связана с яркой веерообразной туманностью Барнارد № 100. Амплитуды:  $\Delta V = 0^m 5$ ,  $\Delta B = 0^m 6$ ,  $\Delta U = 0^m 7$ . В течение отдельных ночей наблюдались изменения блеска на  $0^m 10 \div 0^m 20$  за несколько часов. Эти звезды расположены выше других на двухцветной диаграмме из-за наличия ультрафиолетового избытка. Абсолютные величины DF и DG Tau равны соответственно  $5^m 0$  и  $4^m 8$  ( $E_{B-V} = 0^m 30$ ,  $R = 170$  пс). Следует отметить, что фотоэлектрические наблюдения Мендозы [23] в полосах CBV для звезд RY Tau, DF и DG Tau, SU Aur не противоречат нашим. Также хорошо согласуются с нашими данными и определения Мендозы абсолютных величин звезд RY Tau, T Tau и SU Aur, полученные на основе десятицветной фотометрии.

WW Vul. Характер изменения блеска спокойный, наблюдается небольшое увеличение яркости, имеет место и алого-голоподобное ослабление блеска на  $0^m 4$ . Общая закономерность: при увеличении блеска звезда становится более голубой, причем амплитуда изменения блеска растет от желтых к голубым и ультрафиолетовым лучам. За интервал наблюдений максимальные амплитуды составили:  $\Delta V = 0^m 65$ ,  $\Delta B = 0^m 84$ ,  $\Delta U = 1^m 07$ . Расстояние до звезды принято равным расстоянию до ассоциации Del T1, в которую она входит, согласно Холопову [12]. Поглощение, определенное по близким звездам,  $A_V$  равно  $0^m 18$ , по методу Паренаго -  $0^m 30$ , что в среднем дает избыток цвета  $E_{B-V} = 0^m 08$ . На двухцветной диаграмме после учета поглощения звезда попадает в область, примерно соответствующую ее спектральному классу A3. Абсолютная величин звезды получается равной  $+4^m$ , и на диаграмме Г - Р она помещается немного ниже главной последовательности в пределах Т-полосы.

Таблица 1

	J.D.	V	B-V	U-B	J.D.	V	B-V	U-B
		m	m	m		m	m	m
SU Aur	2439730.54	9.22	+0.87	+0.37	2439816.22	9.23	+0.86	+0.30
	737.54	9.27	+0.85	+0.36	817.21	9.21	+0.87	+0.35
	739.48	9.21	+0.86	+0.35	818.49	9.22	+0.86	+0.36
	765.28	9.21	+0.86	+0.42	820.46	9.19	+0.85	+0.35
	766.22	9.22	+0.87	+0.40	834.48	9.24	+0.86	+0.36
	793.46	9.19	+0.85	+0.37	835.45	9.23	+0.86	+0.35
	815.36	9.26	+0.84	+0.36	933.32	9.18	+0.83	+0.36
VX Cas	2439713.50	11.63	+0.44	-	2439816.19	11.20	-	-
	717.48	11.97	+0.48	-	817.19	11.14	+0.31	+0.29
	729.49	11.85	+0.47	+0.37	819.13	11.21	+0.33	+0.30
	730.48	12.00	+0.44	+0.49	821.29	11.84	+0.48	+0.52
	737.48	11.75	+0.51	+0.47	823.32	11.11	+0.31	+0.30
	738.44	11.74	+0.44	+0.60	831.27	11.30	+0.39	+0.37
	739.42	11.49	+0.39	+0.50	835.22	11.46	+0.38	+0.38
	766.44	11.09	+0.27	+0.18	2440062.52	11.35	+0.36	+0.43
	788.31	11.04	+0.28	+0.25	063.53	11.30	+0.38	+0.34
	793.48	11.17	+0.31	+0.41	095.44	11.53	+0.42	+0.41
DF Tau	815.07	11.32	+0.36	+0.42	213.41	11.12	+0.35	+0.23
	2439766.60	11.77	+0.78	-	2439828.38	11.89	+0.95	-0.35
	767.58	12.03	+0.97	-0.27	.42	11.90	+0.91	-0.08
	769.59	12.34	+1.12	-0.21	831.17	12.32	+1.28	-0.19
	769.55	12.09	+1.17	-0.61	.20	12.28	+1.25	-0.46
	817.34	12.20	+0.94	+0.12	.21	12.29	+1.25	-0.36
	818.46	12.43	+1.24	+0.18	833.20	12.03	+1.02	-0.36
	819.20	12.52	+1.40	+0.24	.37	12.10	+0.99	-0.58
	.23	12.57	+1.31	+0.32	.42	12.10	+1.08	-0.32
	.24	12.56	+1.40	+0.34	.45	12.11	+1.05	-0.20
	.30	12.59	+1.37	+0.24	834.13	11.74	+0.83	-0.91
	820.28	12.54	+1.34	+0.15	.43	11.84	+0.90	-0.50
	.30	12.50	+1.41	+0.22	.44	11.81	+0.92	-0.60
	.44	12.45	+1.31	+0.33	835.13	11.63	+0.78	-0.17
	821.26	12.35	+1.27	+0.11	.18	11.59	+0.75	-0.33
	.27	12.32	+1.31	-0.07	.19	11.57	+0.75	-0.21
	822.32	12.20	+1.22	+0.23	911.33	12.15	+1.13	-0.32
	.36	12.17	+1.22	+0.15	933.27	12.01	+1.00	-0.44
	823.26	12.28	+1.33	+0.51	934.24	12.01	+1.11	-0.14
	.28	12.30	+1.28	+0.36	2440095.55	11.84	+1.03	-
	824.18	12.32	+1.34	+0.25	097.52	12.02	+1.00	-0.18
	.19	12.32	+1.32	+0.19	205.33	11.89	+1.04	-0.26
	828.27	11.88	+0.93	-0.32	206.37	11.83	+0.97	-0.29
	.30	11.86	+0.89	-0.19	213.46	11.97	+1.02	-0.16

Таблица 1 (продолжение)

	J.D.	V	B-V	U-B	J.D.	V	B-V	U-B
		m	m	m		m	m	m
DG Tau	2439766.58	11.58	+0.90	-0.54	2439821.20	11.70	+0.98	-0.38
	767.48	11.87	+0.97	-0.12	.23	11.72	+0.98	-0.31
	.50	11.85	+0.94	-0.38	.24	11.75	+0.96	-0.33
	.52	11.84	+0.95	-0.43	822.29	11.48	+0.92	-0.27
	.53	11.86	+0.96	0.37	.30	11.49	+0.93	-0.25
	.54	11.82	+1.04	-0.53	.31	11.52	+0.90	-0.26
	.56	11.85	+0.98	-0.50	823.22	11.79	+0.92	-0.34
	768.52	11.64	+0.97	-0.36	.30	11.79	+0.96	-0.33
	.53	11.70	+0.90	-0.32	824.21	11.70	+0.94	-0.40
	.54	11.67	+0.95	-0.31	.24	11.68	+0.97	-0.41
.56	11.71	+0.98	-0.35	.25	11.71	+0.94	-0.39	
.62	11.72	+0.95	-	828.15	11.61	+0.92	-0.32	
769.50	11.58	+0.92	-0.28	.24	11.66	+0.93	-0.33	
.53	11.56	+0.95	-0.38	.32	11.75	+0.94	-0.34	
.58	11.52	+0.86	-0.35	.33	11.73	+0.95	-0.38	
.61	11.54	+0.90	-0.41	.37	11.73	+0.97	-0.36	
817.29	11.99	+0.95	-0.29	.40	11.78	+0.96	-0.41	
.31	11.98	+1.01	-0.41	.45	11.78	+0.98	-0.37	
818.42	11.83	+0.98	-0.26	831.15	11.72	+0.96	-0.34	
.44	11.77	+1.03	-0.35	.22	11.78	+0.92	-0.29	
819.26	11.95	+1.01	-0.40	833.19	11.47	+0.93	-0.35	
.27	11.93	+1.03	-0.37	.35	11.53	+0.92	-0.49	
.29	11.95	+0.98	-0.31	.40	11.50	+0.95	-0.42	
820.33	11.81	+0.98	-0.40	834.46	11.50	+0.92	-0.33	
.37	11.77	+0.95	-0.27	835.16	11.62	+0.96	-0.36	
.38	11.75	+0.95	-0.29	911.36	11.80	+0.96	-0.41	
.40	11.74	+0.95	-0.39	933.29	11.79	+1.02	-0.29	
.41	11.71	+0.96	-0.35	934.25	11.89	+0.97	-0.49	
.42	11.69	+0.96	-0.28	2440097.54	11.82	+1.04	-0.34	
.44	11.70	+0.93	-0.19	205.45	11.37	+0.95	-0.29	
				206.45	11.48	+0.93	-0.43	
W W Vir	2439650.48	10.94	+0.48	+0.44	2439730.31	10.58	+0.36	+0.18
	653.44	10.83	+0.43	+0.33	737.26	10.49	+0.37	+0.19
	655.49	10.73	+0.40	+0.20	738.31	10.49	+0.34	+0.24
	700.41	10.98	+0.48	-	2439739.30	10.51	+0.32	+0.23
	703.34	10.59	+0.40	+0.28	764.32	10.48	+0.28	+0.17
	713.39	10.54	+0.38	-	765.30	10.48	+0.33	+0.22
	715.43	10.54	+0.37	-	766.32	10.46	+0.34	+0.12
	717.33	10.52	+0.37	+0.20	807.09	10.40	+0.30	+0.14
	728.31	10.55	+0.34	+0.21	817.03	10.49	+0.23	+0.11
	729.29	10.57	+0.36	+0.19				

Таблица 1 (продолжение)

2440062.40	10.33	+0.29	+0.17	2440112.37	10.47	+0.32	+0.21
063.37	10.34	+0.34	+0.15	116.33	10.41	+0.34	+0.19
095.35	10.39	+0.32	+0.17	122.31	10.53	+0.36	+0.18
097.38	10.49	+0.31	+0.22				

Из анализа наблюдательного материала можно сделать следующие выводы.

1. Все наблюдавшиеся звезды распадаются на две группы: увеличивающие и уменьшающие показатель цвета ( $B - V$ ) при увеличении блеска. К первой группе относятся следующие звезды: UX Ori, RY Tau, AB Aur. Ко второй группе относятся: SU Aur, VX Cas, DF и DG Tau. Этот факт представляется интересным с точки зрения процессов, вызывающих переменность блеска.

2. Звезды типа I<sub>s</sub> и I<sub>ns</sub> (AB Aur, SU Aur, VX Cas, BN Ori, UX Ori, WW Vul) имеют более ранние спектральные типы, чем звезды типа T Tau, и в среднем имеют более высокие светимости.

Исследование всех десяти звезд программы продолжается в настоящее время на основе спектрального материала.

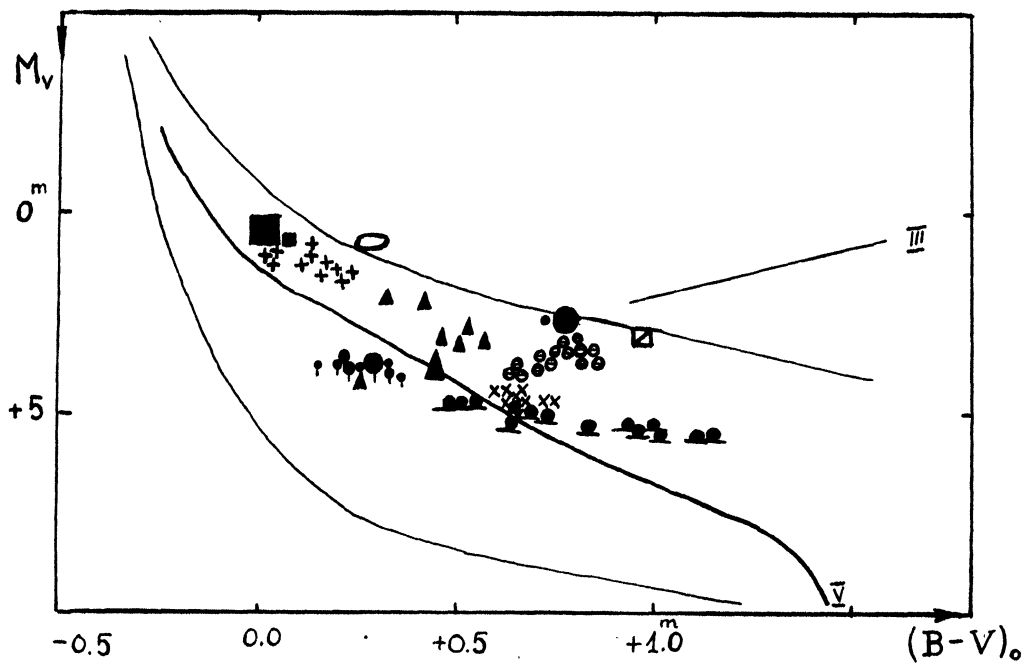


Рис. 6. Диаграмма Герцшпрунга-Рессела. Линия I соответствует стандартной главной последовательности, II - красные гиганты. Границы Т-полосы указаны согласно Холопову [15]. Различными значками указано положение звезд.

## Л и т е р а т у р а

1. Г.В. Зайцева, ПЗ 16, 435, 1968.
2. П.Н. Холопов, ПЗ 15, 3, 1964.
3. В.М. Лютый, АЦ № 446, 1967.
4. П.П. Паренаго, АЖ 22, 129, 1945.
5. А.С. Шаров, АЖ 40, 900, 1963.
6. А.А. Ноаг, Vistas in Astronomy, 8, 139, 1966.
7. L.L. Crawford, ApJ 137, 530, 1963.
8. C. Jaschek, Catalogue of Stellar Spectra Classified in the MK-system, la Plata, 1964.
9. A. Blaauw, Stars and Stellar Systems, 3, 383, Press, Chicago, Illinois, USA, 1963.
10. G.H. Herbig, ApJ Suppl. 4, 337, 1960.
11. C. Hoffmeister, AN 278, 32, 1949.
12. П.Н. Холопов, АЖ 36, 295, 1959.
13. Т.М. Барташ, Изв. КРАО, 36, 210, 1967.
14. René Racine, AJ 73, 233, 1968.
15. П.Н. Холопов, АЖ 35, 434, 1958.
16. E.E. Mendoza, ApJ 143, 1010, 1966.
17. Д.Я. Мартынов, Энг. изв. № 26, 1951.
18. G.H. Herbig, Trans. IAU 8, 807, 1954.
19. L. Meingueter, MVS 3, Helf 5, 150, 1966.
20. W. Wenzel, MVS 4, Helf 2, 25, 1966.
21. Г.В. Зайцева, АЦ, 1969 (в печати).
22. З.А. Дибай, Г.В. Зайцева, АЦ № 481, 1968.
23. E.E. Mendoza, ApJ 151, 977, 1968.
24. J. Smak, ApJ 139, 1095, 1964.

Южная станция ГАИШ, Крым,  
март, 1969 г.